

01; 09; 10

© 1990 г.

УСКОРЕНИЕ ЭЛЕКТРОНОВ ЭЛЕКТРОМАГНИТНОЙ ВОЛНОЙ, РАСПРОСТРАНЯЮЩЕЙСЯ ПОПЕРЕК МАГНИТНОГО ПОЛЯ В ПЕРИОДИЧЕСКИХ СТРУКТУРАХ

В. А. Буц, В. В. Огнивенко

Показана возможность ускорения заряженных частиц, захваченных электромагнитной волной, распространяющейся поперек постоянного магнитного поля в периодических замедляющих структурах. Определен темп ускорения и исследована устойчивость движения захваченных частиц.

Введение

В последнее время существенно вырос интерес к новым методам ускорения заряженных частиц (см. обзор [1]). Во многом этот интерес обусловлен большими успехами в создании мощных источников электромагнитного излучения, что позволяет получать большие напряженности электромагнитных полей и надеяться на достижение больших темпов ускорения заряженных частиц. Предложены новые модификации коллективных методов ускорения. Наиболее интересными из них являются ускорение волнами биений, образованных при смешении двух лазерных лучей в плазме [2], и ускорение в кильватерном поле излучения электронных сгустков в плазме [3], схемы ускорения типа обращенного лазера на свободных электронах [4] и ускорение на фронте плазменной волны, распространяющейся поперек магнитного поля [5]. Последний из этих методов получил название серфотронного метода ускорения и по сути является релятивистской модификацией исследованного в работе [6] механизма взаимодействия заряженных частиц с плазменной волной, распространяющейся поперек внешнего магнитного поля.

Серфотронный механизм ускорения имеет ряд существенных преимуществ. При его осуществлении нет необходимости в изменении параметров ускоряющей структуры для поддержания синхронизма при ускорении на больших расстояниях и до больших энергий, как этого требует, например, ускорение волнами биений. Необходимые для ускорения волны могут быть созданы в плазме. К настоящему времени проведены не только основные теоретические расчеты такого метода ускорения [5, 7, 8], но и получены первые экспериментальные результаты [9]. Одной из основных трудностей, с которой приходится сталкиваться при осуществлении этого метода ускорения, является создание в плазме волны большой амплитуды, имеющей значительную протяженность волнового фронта.

В настоящей работе рассмотрена возможность осуществления серфотронного метода ускорения заряженных частиц в периодических электродинамических структурах. В таких структурах проблема возбуждения волн с заданными характеристиками решается значительно проще, чем в плазме. Ускорение при этом происходит не продольной волной, как в плазме, а поперечной. В качестве примера электродинамических структур, в которых происходит ускорение, рассмотрен плоский волновод с идеально проводящими стенками. Если стенки волновода или среда, которой он заполнен, являются периодическими функциями координаты, то в такой структуре, как известно, могут распространяться медленные электромагнитные волны.

В работе показано, что заряженные частицы, захваченные полем медленной гармонике электромагнитной волны, будут ускоряться вдоль фронта этой гармонике. Наряду с устойчивыми захватными (продольными) колебаниями частица будет совершать поперечные движения. В работе исследована устойчивость поперечного движения ускоряемых частиц и предложен механизм стабилизации поперечных отклонений.

Постановка задачи

Рассмотрим ускорение электронов в плоском волноводе с идеально проводящими стенками. Исследуем два случая. В первом будем предполагать, что плоский волновод, поверхности которого заданы в виде $Z = \pm a$ и параллельны плоскости xy , заполнен средой, диэлектрическая проницаемость которой периодически изменяется вдоль оси x : $\epsilon = \epsilon_0 (1 + q \cos \kappa x)$. Во втором рассмотрим вакуумный плоский волновод ($\epsilon = 1$) с гофрированными стенками $Z(x) = \pm a (1 + q \sin \kappa x)$. Здесь $\kappa = 2\pi/d$, d — период неоднородности диэлектрической проницаемости или боковой поверхности волновода.

Уравнения Максвелла для электромагнитного поля, имеющие продольную составляющую электрического поля (E — волна),

$$i \frac{\omega}{c} H_y = \frac{\partial E_x}{\partial z} - \frac{\partial E_z}{\partial x},$$

$$i \frac{\omega}{c} \epsilon E_x = \frac{\partial H_y}{\partial z}, \quad -i \frac{\omega}{c} \epsilon E_z = \frac{\partial H_y}{\partial x}, \quad (1)$$

дополненные граничным условием для тангенциальной составляющей E_τ электрического поля на поверхности волновода

$$E_\tau [Z(x)] = 0, \quad (2)$$

определяют дисперсионные свойства и топографию полей в таких структурах. В периодических структурах поле можно представить в виде суперпозиции бесконечного числа пространственных гармоник

$$A(x, z) = \sum_{n=-\infty}^{\infty} A_n(z) \exp(i\varphi_n), \quad (3)$$

где

$$A \equiv \{E_x, H_y, E_z\}, \quad A_n \equiv \{E_{zn}, H_{yn}, E_{zn}\},$$

$$\varphi_n \equiv k_{zn}x - \omega t, \quad k_{zn} \equiv k_0 + n\kappa, \quad -\pi/d \leq k_0 \leq \pi/d.$$

При этом фазовая скорость n -й гармонике $v_{\varphi n} = \omega/k_{zn}$ для значений n , превышающих некоторую критическую величину, может быть меньше скорости света c .

Пусть вдоль оси z (поперек структуры) приложено внешнее постоянное магнитное поле H_0 . Уравнения движения ускоряемых электронов в поле (3) и постоянном поперечном магнитном поле имеют вид

$$\frac{dp_x}{dt} = -e \left(E_x - \frac{v_z}{c} H_y + \frac{v_y}{c} H_0 \right),$$

$$\frac{dp_z}{dt} = -e \left(E_z + \frac{v_x}{c} H_y \right), \quad \frac{d\mathbf{r}}{dt} = \mathbf{v}, \quad (4a)$$

$$\frac{dp_y}{dt} = \frac{ev_x}{c} H_0, \quad (4b)$$

$$\mathbf{p}(0) = \mathbf{p}_0, \quad \mathbf{r}(0) = \mathbf{r}_0, \quad (5)$$

где $\mathbf{v} = \mathbf{p} / \sqrt{m^2 c^2 + p^2}$, \mathbf{p} — импульс частицы.

Из уравнения движения (4б) следует закон сохранения y -й компоненты обобщенного импульса

$$p_y - \frac{e}{c} x H_0 = \text{const.}$$

Решения уравнений (4а), (4б) с начальными условиями (5) в полях (3), определяемых уравнениями (1) и граничными условиями (2), определяют динамику ускорения электронов и являются целью настоящей работы.

Дисперсия плоского волновода, заполненного периодически неоднородной средой

В гладком волноводе, заполненном средой с диэлектрической проницаемостью $\epsilon = \epsilon_0 (1 + q \cos \chi x)$, выражение для продольной составляющей электрического поля представим в виде

$$E_{zn} = E_n \cos k_{\perp} z, \quad (6)$$

где k_{\perp} — поперечное волновое число, определяемое из граничного условия (2), $k_{\perp} = k_{\perp}^{(j)} = (\pi j)/(2a)$; $j = \pm 1, \pm 2, \dots$

Параметр неоднородности q будем считать малым ($q \ll 1$). Приведем уравнения (1) к уравнению для продольной составляющей электрического поля E_z и с учетом (3), (6) ортогонализуем его. После соответствующих преобразований получим следующую систему алгебраических уравнений:

$$\sum_{n=-\infty}^{+\infty} a_{mn}(\omega, \mathbf{k}) E_n = 0, \quad -\infty < m < \infty, \quad (7)$$

где $a_{mm} \equiv (\omega^2/c^2) \epsilon_0 - k_{\perp}^2 - k_{zm}^2$; $a_{mn} = 0$, $n \neq m$, $m \pm 1$;

$$a_{m, m\pm 1} \equiv \frac{q}{2} \left(\frac{\omega^2}{c^2} \epsilon_0 \pm \chi k_{zm} \right).$$

Дисперсионное уравнение, определяемое из условия существования нетривиального решения уравнений (7), примет вид

$$\| a_{mn}(\omega, \mathbf{k}) \| = 0. \quad (8)$$

Периодическая неоднородность приводит к возникновению пространственных гармоник и к смещению частоты $\Delta\omega$ собственных волн однородного плоского волновода $\omega = \omega^{(0)} + \Delta\omega$, где $\omega^{(0)} = (c/\sqrt{\epsilon_0}) \sqrt{k_{\perp}^2 + k_z^2}$. Вдали от точек пересечения дисперсионных кривых $\omega^{(0)}(k_z)$ соседних пространственных гармоник поправка к частоте пропорциональна q^2 . В области же пересечения дисперсионных кривых соседних пространственных гармоник происходит расщепление спектра, образование полос непрозрачности, величина которых и соответственно поправки к частоте пропорциональны q . В частности, в области пересечения нулевой и первой пространственных гармоник $k_0 = \pi/d$ из уравнения (8) получим следующее выражение для поправки к частоте:

$$\Delta\omega = \pm q \frac{\omega^{(0)}}{4} [1 - 2/\epsilon_0 (\beta_{\Phi}^{(0)})^2], \quad (9)$$

где $\beta_{\Phi}^{(0)} = (1/\sqrt{\epsilon_0}) \sqrt{1 + (2k_{\perp}/\chi)^2}$ — фазовая скорость волны в однородном плоском волноводе.

Из выражения (9) видно, что в области пересечения нулевой и первой пространственных гармоник при выполнении условия $(k_{\perp}/k_0)^2 < (\epsilon_0 - 1) + \epsilon_0 q/2$ медленной может быть даже нулевая гармоника $\beta_{\Phi 0} < 1$.

Дисперсия плоского волновода с синусоидально-гофрированными стенками

Амплитуду пространственной гармоники продольного поля в плоском волноводе с гофрированными стенками представим в виде

$$E_{zn} = E_n \cos k_{zn} z, \quad (10)$$

где $k_{zn}^2 = \frac{\omega^2}{c^2} - k_{xn}^2$.

Остальные компоненты полей легко найти из уравнений Максвелла (1) (см. ниже (13)).

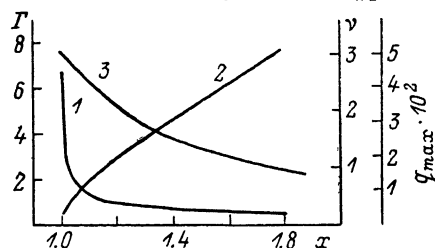
Граничное условие (2) на поверхности волновода примет вид

$$E_x + a q x E_z \cos x x = 0. \quad (11)$$

Подставим выражения для полей E_x и E_z в граничное условие (11) и, ортогонализуя его, получим бесконечную систему алгебраических уравнений и соответствующее ему дисперсионное уравнение в виде (7) и (8) соответственно. При этом коэффициенты a_{mn} будут иметь вид

$$a_{mn} = \frac{1}{2} \left[1 + (n-m) \frac{k_{xzn} x}{k_{zn}^2} \right] [(-1)^{n-m} e^{i k_{zn} a} - e^{-i k_{zn} a}] J_{n-m}(q k_{zn} a).$$

Как и в периодически неоднородной среде, поправка к частоте, обусловленная конечной глубиной гофра, вдали от пересечения дисперсионных кривых



Зависимость замедления основной гармоники Γ , спадание поля от стенок к центру волновода ν , максимально допустимого значения глубины гофра q_{\max} от $X = \pi \sqrt{q} a / d$ при $k_0 = \pi / d$.

1 — Γ , 2 — ν , 3 — q .

соседних гармоник пропорциональна q^2 , а в области пересечения пропорциональна q . Наибольшее замедление нулевой гармоники будет достигаться в области пересечения дисперсионных кривых нулевой и первой гармоник поля. Поэтому рассмотрим возможность замедления основной гармоники электромагнитного поля при $k_0 = x/2$. Дисперсионное уравнение в области пересечения нулевой и первой медленных пространственных гармоник примет вид

$$\text{ch } \nu = q \gamma_{\Phi}^2 (1 - 1/2 \gamma_{\Phi}^2) \nu \text{ sh } \nu, \quad (12)$$

где

$$\nu \equiv \frac{k_0 a}{\gamma_{\Phi}}, \quad \gamma_{\Phi} \equiv (1 - \beta_{\Phi}^2)^{-1/2}, \quad \beta_{\Phi} = \frac{v_{\Phi}}{c} = \frac{\omega}{k_0 c},$$

ch , sh — гиперболические косинус и синус соответственно.

Уравнение (12) получено с точностью до q^2 и является приближенным, однако само это уравнение малого параметра не содержит, поскольку $\gamma_{\Phi}^2 \gg 1$. Приведем результаты численного решения этого уравнения. На рисунке приведена зависимость Γ — замедления основной гармоники ($\Gamma = \sqrt{q \gamma_{\Phi}}$), q_{\max} — максимально допустимых значений глубины гофра и параметра ν ($\nu \equiv (a k_0) / \gamma_{\Phi}$), характеризующего степень спадания поля от стенок к центру волновода, от $x \equiv \pi \sqrt{q} a / d$.

Величина x пропорциональна отношению продольного волнового числа нулевой гармоники в точке π/d к поперечному волновому числу. Асимптотическое поведение зависимости γ_{Φ} от x при $x \gg 1$ получим из решения уравнения (12) при $\nu \ll 1$

$$\gamma_{\Phi} = a k_0 \sqrt{q a^2 k_0^2 - 1}.$$

Видно, что при $k_0 a \sqrt{q} > 1$ в структуре могут распространяться медленные волны. С ростом x фазовая скорость волны уменьшается. Это обусловлено уменьшением поперечного волнового числа. Отметим, что при этом уменьшается фазовая скорость и в гладком волноводе, имеющем такие же поперечные размеры. При $x \gg 1$ ($v \gg 1$) выражение для γ_ϕ принимает вид

$$\gamma_\phi = 1/qk_0 a$$

и минимальное значение γ_ϕ ограничено условием $qax < 0.448$ применимости представления поля в волноводе с гофрированными стенками в виде волн Флоке [10]

$$\gamma_\phi > \gamma_{\phi \min} \approx 5.$$

При этом, как видно из рисунка, с ростом x увеличивается параметр v и поля сильнее прижимаются к стенкам волновода.

Серфотронное ускорение электронов

Рассмотрим движение ускоряемых электронов в поле одной из пространственных гармоник, распространяющейся в периодической структуре в поперечном магнитном поле. Ее компоненты поля представим в виде

$$E_{zn} = -i \frac{k_{zn}}{k} \mathcal{E}_n \sin \psi, \quad H_{yn} = \frac{i\omega}{kc} \mathcal{H}_n \sin \psi, \quad (13)$$

где $\psi = kz$, $k = k_{zn}$, $\mathcal{H}_n = \mathcal{E}_n = E_n$ для волновода с гофрированными стенками, $k = k_\perp$, $\mathcal{H}_n = E_n + (q/2)(E_{n+1} + E_{n-1})$, $\mathcal{E}_n = E_n + (qx/2k_{zn})(E_{n-1} - E_{n+1})$ для волновода, заполненного периодически неоднородной средой.

Из уравнений (4) следует интеграл движения

$$mc^2 k_{zn} \gamma / \omega - p_x - \frac{e}{c} y H_0 - \frac{e E_n}{\omega} \cos \varphi_n \cos \psi = \text{const.}$$

Пусть скорость электронов близка к фазовой скорости n -й пространственной гармоники, а ее амплитуда такова, что электроны захвачены полем этой гармоники. Тогда решение уравнений (4) можно искать в виде

$$x(t) = v_{\phi n} t + x' + x_0,$$

где x' — смещение электронов, обусловленное захватными колебаниями в поле синхронной гармоники и поперечном магнитном поле.

В нулевом приближении без учета этого смещения из уравнений (4) следует, что энергия ускоряемых электронов увеличивается со временем по такому же закону

$$\mathcal{E} = mc^2 \gamma_r(t) = mc^2 \gamma_{\phi n} (1 + \omega_H^2 \gamma_{\phi n}^2 t^2)^{1/2}, \quad (14)$$

как в обычной схеме серфотронного ускорения [5]. Здесь $\omega_H = eH_0/mc$.

Исследуем теперь динамику ускоряемых электронов с учетом захватных колебаний, предполагая, как и в работе [7], поправки к основному состоянию малыми, т. е. $|\dot{x}| \ll v_{\phi n}$, $|\dot{z}| \ll v_{\phi n}$, $|p_i^{(0)}| \gg |\delta p_i|$. Уравнения, описывающие продольное движение вдоль x при этом примут вид:

$$\frac{d}{dt} \gamma_r \frac{d\xi}{dt} + \frac{\Omega_b^2}{\gamma_{\phi n}^2} \sin \varphi_s \cos \psi + \frac{\omega_H^2 \gamma_{\phi n}^2}{\gamma_r^3} \xi = -\frac{\omega_H^2 \omega t}{\gamma_r}, \quad (15)$$

где $\xi \equiv k_{zn} x'$, $\Omega_b^2 \equiv e E_n k_{zn} / m$, $\xi_0 \equiv k_{zn} x_0$, $\varphi_s = \xi + \xi_0$.

Отличие уравнения (15) от аналогичных работы [7] заключается в зависимости частоты захватных колебаний от поперечной координаты (второе слагаемое в левой части (15)), а также в том, что при выводе уравнения (15) учтено изменение скорости v_y , обусловленное захватными колебаниями электронов, в то время как в работе [7] бралось невозмущенное значение v_y . Представляя ξ

в виде суммы медленноменяющегося ξ и быстроосциллирующего слагаемого ξ_r .
 получим уравнения медленного движения ведущего центра

$$\frac{\Omega_b^2}{\gamma_{\Phi n}^2} \sin \varphi_s \cos \psi + \frac{\omega_H^2 \gamma_{\Phi n}^2}{\gamma_r^2(t)} \xi = - \frac{\omega_H^2 \omega t}{\gamma_r(t)} \quad (16)$$

и быстрых осцилляций относительно него

$$\frac{d}{dt} \gamma_r \frac{d\xi}{dt} + \left[\frac{\omega_H^2 \gamma_{\Phi n}^2}{\gamma_r^3(t)} + \frac{\Omega_b^2}{\gamma_{\Phi n}^2} \cos \varphi_s \right] \xi = 0. \quad (17)$$

Уравнения (16), (17) совместно с уравнением

$$\frac{d}{dt} \gamma_r \frac{d\psi}{dt} + \frac{k^2}{k_{zn}^2} \Omega_b^2 \cos \varphi_s \left(1 + \frac{\omega_H^2 H_n}{E_n} \right) \sin \psi = 0, \quad (18)$$

описывающим поперечные отклонения электронов, определяют динамику ускоряемых электронов. Кроме того, для гофрированного волновода необходимо положить $H_n = E_n$.

Рассмотрим устойчивость продольного движения. В пределе $t \gg (\omega_H \beta_{\Phi n})^{-1}$ положение ведущего центра определяется уравнением

$$\sin(\xi + \xi_0) = -H_0 \gamma_{\Phi n} / E_n \cos \psi,$$

из которого следует, что электроны будут захвачены при выполнении неравенства

$$E_n \cos \psi > H_0 \gamma_{\Phi n}. \quad (19)$$

В волноводе с гофрированными стенками волна, в которой ускоряются электроны, поверхностная ($\psi = i | \psi |$), и неравенство (19) принимает вид

$$E_n \operatorname{ch} | \psi | > H_0 \gamma_{\Phi n}.$$

Видно, что условие захвата выполняется тем лучше, чем ближе электроны к стенкам волновода.

Будем рассматривать движение частиц вблизи центра $| \psi | = 0$. Решение уравнения (17) для малых колебаний по x относительно ведущего центра, удовлетворяющих начальным условиям $\xi(0) = 0$, $\dot{\xi}(0) = w_0$, получим методом ВКБ.

$$\xi = w_0 \left[\gamma_{\Phi n} / \gamma_r \Omega_{\Phi} \Omega_{\Phi}(0) \right]^{1/2} \sin \int_0^t \Omega_{\Phi} dt, \quad (20)$$

где

$$\Omega_{\Phi}^2 = \frac{1}{\gamma_r} \left[\frac{\omega_H^2 \gamma_{\Phi n}^2}{\gamma_r^3} + \frac{\Omega_b^2}{\gamma_{\Phi n}^2} \cos \varphi_s \right].$$

При

$$\frac{\Omega_b^2}{\gamma_{\Phi n}^2} \cos \varphi_s \gg \frac{\omega_H^2 \gamma_{\Phi n}^2}{\gamma_r^3}$$

выражение (20) примет вид

$$\xi = (u_0 / \Omega) \sin \int_0^t \Omega dt', \quad (21)$$

где

$$\Omega \equiv \Omega_b / \gamma_{\Phi n} \gamma_r^{1/2}, \quad u_0 \equiv w_0 (\gamma_{\Phi n} / \gamma_r)^{1/2}.$$

Из (21) следует, что с ростом релятивистского фактора γ_r частота захватных колебаний уменьшается как $\Omega \sim \gamma_r^{-1/2}$, а амплитуда и скорость осцилляций уменьшаются как $\xi \sim \gamma_r^{-1/4}$ и $\dot{\xi} \sim \gamma_r^{-3/4}$, соответственно в отличие от результатов работы [7], где в нерелятивистском пределе $\beta_{\Phi n} \ll 1$ зависимость амплитуды

и скорости осцилляций от релятивистского фактора была более резкая $\xi \sim \gamma_r^{-1/2}$ и $\xi \sim \gamma_r^{-1/2}$.

В поле электромагнитной волны наряду с продольным движением электроны совершают поперечное движение, описываемое уравнением (18). При $|\xi| \ll E_m c / \omega H_m$ решение этого уравнения методом ВКБ с начальными условиями $z(0) = z_0$, $\dot{z}(0) = v_{z0}$ принимает вид

$$z(t) = \left[\frac{\gamma_{\phi n} \Omega_{\perp 0}}{\gamma_r \Omega_{\perp}} \right]^{1/2} \left[z_0 \cos \int_0^t \Omega_{\perp} dt' + \frac{v_{z0}}{\Omega_{\perp 0}} \sin \int_0^t \Omega_{\perp} dt' \right], \quad (22)$$

где

$$\Omega_{\perp}^2 = k^2 \Omega_b^2 \cos \varphi_s / k_{xn}^2 \gamma_r$$

При ускорении в периодически неоднородной среде, как видно из уравнения (22), электроны совершают устойчивые поперечные колебания с частотой Ω_{\perp} вблизи начального положения z_0 . С ростом энергии частиц частота поперечных колебаний уменьшается как $\Omega_{\perp} \sim \gamma_r^{-1/2}$. При этом амплитуда и скорость осцилляций уменьшаются как $z \sim \gamma_r^{-1/2}$, $\dot{z} \sim \gamma_r^{-3/2}$ соответственно.

При ускорении в волноводе с гофрированными стенками $\Omega_{\perp}^2 = -\Omega^2$ в области устойчивого фазового движения $\Omega^2 > 0$ соответствует неустойчивое поперечное движение $\Omega_{\perp}^2 < 0$. Электроны, совершая захватные колебания по x , будут уходить на стенки волновода.

Для фокусировки ускоряемых электронов, например, можно подать на стенки волновода отрицательный потенциал относительно конца системы $x = x_n$. Такой метод фокусировки аналогичен фокусировке фольгами. Кроме того, как будет показано ниже, фокусировка может быть обеспечена несинхронными гармониками поля.

Фокусировка частиц гармониками электромагнитного поля

Рассмотрим влияние m -й гармоники на процесс ускорения в поле синхронной n -й гармоники (пусть $m = n - l$). Для доказательства такой возможности в уравнениях движения (4), подставляя поле (3), оставим не только синхронную (n -ю), но и несинхронную (m -ю). Как и выше, представляя продольное движение в виде суммы быстрого и медленного слагаемых и предполагая поперечное движение нерелятивистским, получим следующую систему уравнений:

$$\begin{aligned} \frac{d}{dt} \gamma_r \frac{d\psi}{dt} - \gamma_r [\Omega^2 + \Omega_l^2 \cos(\varphi_s - \omega_l t)] \psi &= 0, \\ \frac{d}{dt} \gamma \frac{d\xi}{dt} + \gamma_r \left[\Omega_{\Phi}^2 + \frac{\Omega_{bl}^2}{\gamma_r \gamma_{\Phi n}^2} \cos(\varphi_s - \omega_l t) \right] \xi &= - \frac{\Omega_{bl}^2}{\gamma_{\Phi n}^2} \sin(\varphi_s - \omega_l t), \end{aligned} \quad (23)$$

где

$$\begin{aligned} \Omega_l^2 &\equiv \frac{e E_{n-l}}{m \gamma_r} k_{xn} \left(\gamma_{\Phi}^{-2} - \frac{l x}{k_{xn}} - 3_{\Phi n} \xi \right), \\ \Omega_l &\equiv l x c 3_{\Phi n}, \quad \Omega_{bl}^2 \equiv e E_{n-l} k_{xn} / m. \end{aligned}$$

Уравнения (23) описывают фазовые колебания частицы с частотой, периодически изменяющейся со временем, и могут быть приведены к виду уравнений Матве. Покажем, что в этом случае возможны одновременно поперечная и продольная устойчивости. В большинстве практически интересных случаев $\omega_l \gg \Omega$, Ω_l , Ω_{Φ} . Поэтому уравнения (23) решим приближенными методами. Представим траекторию отдельного электрона z в виде суммы медленного слагаемого \bar{z} (характерное время изменения $\sim \Omega^{-1}$) и быстрого слагаемого \tilde{z} (время изменения $\sim \omega_l^{-1}$): $z = \bar{z} + \tilde{z}$. Усредняя уравнение (23) по периоду $2\pi/\omega_l$, получим уравнение для \bar{z}

$$\frac{d}{dt} \gamma_r \frac{d\bar{z}}{dt} - \gamma_r \left[\Omega_{\perp}^2 - \frac{\Omega_l^2}{2\omega_l^2} \right] \bar{z} = 0. \quad (24)$$

Производа аналогичные вычисления, для координаты ξ ($\xi = \eta + \tilde{\eta}$) получим уравнение для продольных фазовых колебаний

$$\frac{d}{dt} \gamma_r \frac{d\eta}{dt} + \gamma_r \left[\Omega_{\Phi}^2 + \frac{1}{2} \left(\frac{\Omega_{bl}^2}{\gamma_{\Phi n}^2 \gamma_r \omega_l} \right)^2 \right] \eta = 0. \quad (25)$$

Как видно из уравнений (24) и (25), учет несинхронной гармоник приводит к увеличению частоты фазовых колебаний, т. е. приводит к росту устойчивости фазовых колебаний, а при выполнении неравенства $\Omega_{\perp}^2 < \Omega_{\parallel}^2 / 2\omega_l^2$ поперечное движение становится устойчивым. При $|\beta_{\Phi n} \frac{\xi}{\gamma_{\Phi n}}| \ll 1$, $l\chi \gamma_{\Phi n}^2 / k_{xn} \gg 1$ это условие принимает вид

$$\Omega_{bl}^2 \gamma_{\Phi n}^2 > 2\gamma_r \omega^2 \frac{f_n}{E_{n-1}} \cos \varphi_s. \quad (26)$$

Если электроны захвачены не нулевой гармоникой $n \neq 0$, то основную роль в процессе стабилизации будут играть низшие гармоники $m < n$, в основном нулевая ($m=0$). Для слабогофрированного волновода отношение E_n/E_{n-1} по порядку величины равно q^l . Поэтому даже при ускорении первой гармоникой ($n=1, m=0, l=1$) неравенство (26) может быть выполнено при ускорении электронов до значительной энергии.

Заключение. Выводы

В настоящей работе показано, что в плоском периодическом волноводе может быть осуществлено ускорение заряженных частиц, захваченных электромагнитной волной в поперечном магнитном поле. Темп ускорения является таким же, как и в серфотронном ускорении электростатической волной.

Ускоряются заряженные частицы, захваченные в потенциальную яму, образованную продольной составляющей электрического поля. При этом величина электрического поля волны, необходимая для захвата заряженных частиц в режиме неограниченного ускорения, оказывается такой же, как и при ускорении продольной (плазменной) волной. Отметим, что в работе [11] рассмотрена другая модификация серфотронного метода — ускорение заряженных частиц поперечной электромагнитной волной в однородной диэлектрической среде, а также отмечена возможность ускорения волной H -типа в плоском волноводе с диэлектрическими стенками. Однако в этих случаях ускоряемые частицы захватываются в потенциальную яму, образованную ponderomotorной силой. В результате этого напряженность поля ускоряемой волны, необходимая для захвата заряженных частиц, должна быть в γ_b раз больше, чем в рассмотренной нами схеме. Методы ускорения, рассмотренные в настоящей работе и в работе [11], легко реализовать в радиодиапазоне. При этом они могут быть использованы для экспериментальной проверки основных принципов серфотронного метода ускорения.

Список литературы

- [1] Файнберг Я. Б. Физика плазмы. 1987. Т. 13. № 5. С. 607—625.
- [2] Tajima T., Dawson J. M. // Phys. Rev. Lett. 1979. Vol. 43. N 4. P. 260—270.
- [3] Chen P., Dawson J. M., Huff R. W., Katsouleas T. // Phys. Rev. Lett. 1985. Vol. 54. № 7. P. 693—696.
- [4] Апполонов В. В., Калачев Ю. А., Прохоров А. Ф., Федоров М. В. // Письма в ЖЭТФ. 1986. Т. 44. Вып. 2. С. 61—63.
- [5] Katsouleas T., Dawson J. M. // Phys. Rev. Lett. 1983. Vol. 51. N 5. P. 392—395.
- [6] Сагдеев Р. З., Шапиро В. Д. // Письма в ЖЭТФ. 1973. Т. 17. Вып. 7. С. 389—394.
- [7] Заславский Г. М., Моисеев С. С., Черников А. А. // Письма в ЖЭТФ. 1986. Т. 91. Вып. 1. С. 98—105.
- [8] Грибов Б. Э., Сагдеев Р. З., Шапиро В. Д., Шевченко В. И. // Письма в ЖЭТФ. 1985. Т. 42. Вып. 2. С. 54—58.
- [9] Nishida Y., Sato N. // Phys. Rev. Lett. 1987. Vol. 59. N 6. P. 653—656.
- [10] Millar R. F. // Proc. Cambridge Philos. Soc. 1971. Vol. 69. N 1. P. 217—225.
- [11] Takauchi S., Sakai K., Matsumoto M., Sugihara R. // Phys. Lett. A. 1987. Vol. 122. N 5. P. 257—261.